

**В. П. СУББОТОВИЧ**, д-р техн. наук, с.н.с.; проф. НТУ «ХПІ»;  
**А. Ю. ЮДИН**, канд. техн. наук, с.н.с.; доц. НТУ «ХПІ»

## ПОТОК БЕЗ ОСЕВОЙ СИММЕТРИИ ЧЕРЕЗ ВРАЩАЮЩУЮСЯ РЕШЕТКУ ТУРБОМАШИНЫ НА ПОВЕРХНОСТИ ТОКА $S_2$

Рассмотрено относительное установившееся течение идеального газа через вращающуюся решетку осевой турбомашины. Поверхности тока  $S_2$  являются скрученными произвольным образом поверхностями. Используется цилиндрическая система координат, однако вектор скорости потока однозначно определен не тремя проекциями на координатные оси, а только двумя проекциями на направления, которые однозначно задаются геометрией поверхности тока. Для расчета течения без осевой симметрии в слое переменной толщины получено точное уравнение количества движения.

**Ключевые слова:** вращающаяся решетка, идеальный газ, уравнение количества движения.

### Введение

Разработка новых теоретических методов, которые смогут успешно решать не только прямые, но и обратные аэродинамические задачи для элементов проточных частей турбин и возможно более полно учитывать особенности организации процесса оптимального проектирования, является актуальной проблемой турбиностроения.

На сегодняшний день нахождение решения прямой задачи о 3D-течении в решетке турбомашины является весьма непростым процессом, и отсутствует перспектива создания в обозримом будущем метода, который позволит находить точное решение обратной задачи теории решеток. Поэтому и предлагается дальнейшее развитие Q3D-подхода, всесторонне разработанного Ч.Х. Ву [1], в котором полагается, что поток движется в

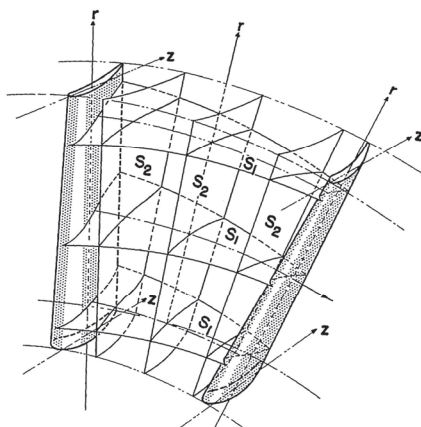


Рис. 1 – Поверхности  $S_1$  и  $S_2$

слоях переменной толщины по поверхностям тока  $S_1$  и  $S_2$  (рис. 1). В задачах на поверхностях тока для описания течений используются уравнения Эйлера. Задача решается для каждой поверхности отдельно с учетом взаимного влияния двухмерных потоков. Сначала ищется осесимметричное решение на произвольно скрученных поверхностях  $S_2$  в предположении, что оно дает удовлетворительные данные по осредненным параметрам потока через решетку, а потом на поверхностях вращения  $S_1$  в слое переменной толщины определяются параметры потока в межлопаточном канале как отклонения от средних параметров. Очевидно, что для Q3D-подхода процесс поиска решения является итерационным процессом, а его

сходимость зависит от рассмотрения степени взаимодействия течений на указанных

поверхностях тока.

В методе решения обратной задачи на основе Q3D-подхода, разрабатываемом авторами [2–5], предлагается исключить итерационный процесс поиска решения и решать задачу в три этапа. На первом этапе задается геометрия двух соседних поверхностей  $S_2$ , образующих слой переменной толщины, например, в средине канала, и определяются меридиональные очертания корня и периферии межлопаточного канала для этого слоя. На втором этапе решаются обратные задачи на поверхностях  $S_1$ , таких которые могут иметь и скрученность, обусловленную вторичными течениями. На третьем этапе на основе формы

© В.П. Субботович, А.Ю. Юдин, 2015

межлопаточного канала выполняется объемное профилирование лопатки.

### Основные определения, обозначения и зависимости

Рассматривается относительное установившееся течение идеального газа в межлопаточном канале вращающейся решетки осевой турбомашины. Используется цилиндрическая система координат  $(r, z, \theta)$ , ось  $z$  совпадает с осью турбомашины.

Выбран слой переменной толщины  $\tau = \tau(r, z, \theta)$ , ограниченный соседними поверхностями  $S_2^{(i)}$  и  $S_2^{(i+1)}$ , и в нем – поверхность тока  $S_{2mid}$ , лежащая посередине между поверхностями  $S_2^{(i)}$  и  $S_2^{(i+1)}$ . Течение в слое будем относить к этой поверхности.

Указана произвольная точка на поверхности  $S_{2mid}$  (рис. 2). Обозначены  $l_2$  и  $m_2$  проходящие через эту точку линии пересечения поверхности  $S_{2mid}$  с плоскостью  $z = \text{const}$  и поверхностью  $r = \text{const}$ . Введены производные, следуя [1], которые берутся вдоль линии  $l_2$  по переменной  $z$  и вдоль линии  $m_2$  по переменной  $r$ :

$$\frac{\partial_r}{\partial z} = \frac{\partial}{\partial z} + \frac{1}{r} \frac{\partial}{\partial \theta} \frac{r \partial \theta}{\partial z} \text{ при } r = \text{const}, \quad \frac{\partial_z}{\partial r} = \frac{\partial}{\partial r} + \frac{1}{r} \frac{\partial}{\partial \theta} \frac{r \partial \theta}{\partial r} \text{ при } z = \text{const} \quad (1)$$

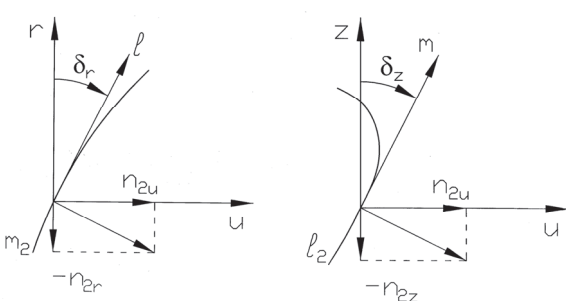


Рис. 2 – К определению направлений и углов

Установлена связь между проекциями скорости потока  $W$  на координатные оси  $W_z$ ,  $W_r$ ,  $W_u$  и её проекциями  $W_l$ ,  $W_m$  на направления  $l$  и  $m$ . Для этого проведена нормаль  $n_2$  к поверхности  $S_{2mid}$ . Векторы  $W$  и  $n_2$  – ортогональные векторы и их скалярное произведение равно нулю:  $W_r n_{2r} + W_z n_{2z} + W_u n_{2u} = 0$ . Тогда  $W_u = W_r \operatorname{tg} \delta_r + W_z \operatorname{tg} \delta_z$ , где  $\operatorname{tg} \delta_r = \frac{r \partial \theta}{\partial r} = -\frac{n_{2r}}{n_{2u}}$ ,  $\operatorname{tg} \delta_z = \frac{r \partial \theta}{\partial z} = -\frac{n_{2z}}{n_{2u}}$  (рис. 2), и

$$W_z = W_l \cos \delta_z, \quad W_r = W_m \cos \delta_r, \quad W_u = W_l \sin \delta_z + W_m \sin \delta_r. \quad (2)$$

### Преобразование уравнения количества движения

Уравнение количества движения для трехмерного установившегося относительного движения идеального газа запишем в скалярной форме:

$$W_z \frac{\partial W_r}{\partial z} + W_r \frac{\partial W_z}{\partial r} + \frac{W_u}{r} \frac{\partial W_r}{\partial \theta} - \frac{W_u^2}{r} - \omega^2 r - 2\omega W_u = -v \frac{\partial p}{\partial r}, \quad (3)$$

$$W_z \frac{\partial W_z}{\partial z} + W_r \frac{\partial W_z}{\partial r} + \frac{W_u}{r} \frac{\partial W_z}{\partial \theta} = -v \frac{\partial p}{\partial z}, \quad (4)$$

$$W_z \frac{\partial W_u}{\partial z} + W_r \frac{\partial W_u}{\partial r} + \frac{W_u}{r} \frac{\partial W_u}{\partial \theta} + \frac{W_r W_u}{r} + 2\omega W_r = -v \frac{1}{r} \frac{\partial p}{\partial \theta}. \quad (5)$$

Воспользуемся зависимостями, полученными из (1):

$$\frac{\partial}{\partial z} = \frac{\partial_r}{\partial z} - \frac{1}{r} \frac{\partial}{\partial \theta} \frac{r \partial \theta}{\partial z} = \frac{\partial_r}{\partial z} - \frac{1}{r} \frac{\partial}{\partial \theta} \operatorname{tg} \delta_z, \quad \frac{\partial}{\partial r} = \frac{\partial_z}{\partial r} - \frac{1}{r} \frac{\partial}{\partial \theta} \frac{r \partial \theta}{\partial r} = \frac{\partial_z}{\partial r} - \frac{1}{r} \frac{\partial}{\partial \theta} \operatorname{tg} \delta_r.$$

Выполним преобразования суммы первых трех слагаемых левой части уравнения (3), суммы всех слагаемых левой части уравнения (4) и суммы первых трех слагаемых левой части уравнения (5):

$$\begin{aligned} & W_z \frac{\partial W_r}{\partial z} + W_r \frac{\partial W_r}{\partial r} + \frac{W_u}{r} \frac{\partial W_r}{\partial \theta} = \\ & = W_z \left( \frac{\partial_r W_r}{\partial z} - \frac{1}{r} \frac{\partial W_r}{\partial \theta} \operatorname{tg} \delta_z \right) + W_r \left( \frac{\partial_z W_r}{\partial r} - \frac{1}{r} \frac{\partial W_r}{\partial \theta} \operatorname{tg} \delta_r \right) + \frac{W_u}{r} \frac{\partial W_r}{\partial \theta} = \\ & = W_z \frac{\partial_r W_r}{\partial z} + W_r \frac{\partial_z W_r}{\partial r} - (W_r \operatorname{tg} \delta_r + W_z \operatorname{tg} \delta_z) \frac{1}{r} \frac{\partial W_r}{\partial \theta} + \frac{W_u}{r} \frac{\partial W_r}{\partial \theta} = W_z \frac{\partial_r W_r}{\partial z} + W_r \frac{\partial_z W_r}{\partial r}, \end{aligned}$$

$$\begin{aligned} & W_z \frac{\partial W_z}{\partial z} + W_r \frac{\partial W_z}{\partial r} + \frac{W_u}{r} \frac{\partial W_z}{\partial \theta} = \\ & = W_z \left( \frac{\partial_r W_z}{\partial z} - \frac{1}{r} \frac{\partial W_z}{\partial \theta} \operatorname{tg} \delta_z \right) + W_r \left( \frac{\partial_z W_z}{\partial r} - \frac{1}{r} \frac{\partial W_z}{\partial \theta} \operatorname{tg} \delta_r \right) + \frac{W_u}{r} \frac{\partial W_z}{\partial \theta} = \\ & = W_z \frac{\partial_r W_z}{\partial z} + W_r \frac{\partial_z W_z}{\partial r} - \frac{1}{r} \frac{\partial W_z}{\partial \theta} (W_z \operatorname{tg} \delta_z + W_r \operatorname{tg} \delta_r) + \frac{1}{r} \frac{\partial W_z}{\partial \theta} W_u = W_z \frac{\partial_r W_z}{\partial z} + W_r \frac{\partial_z W_z}{\partial r}, \end{aligned}$$

$$\begin{aligned} & W_z \frac{\partial W_u}{\partial z} + W_r \frac{\partial W_u}{\partial r} + \frac{W_u}{r} \frac{\partial W_u}{\partial \theta} = \\ & = W_z \left( \frac{\partial_r W_u}{\partial z} - \frac{1}{r} \frac{\partial W_u}{\partial \theta} \operatorname{tg} \delta_z \right) + W_r \left( \frac{\partial_z W_u}{\partial r} - \frac{1}{r} \frac{\partial W_u}{\partial \theta} \operatorname{tg} \delta_r \right) + \frac{W_u}{r} \frac{\partial W_u}{\partial \theta} = \\ & = W_z \frac{\partial_r W_u}{\partial z} + \frac{W_R}{\cos \sigma_r} W_r \frac{\partial_z W_u}{\partial r} - \frac{1}{r} \frac{\partial W_u}{\partial \theta} (W_z \operatorname{tg} \delta_z + W_r \operatorname{tg} \delta_r) + \frac{1}{r} W_u \frac{\partial W_u}{\partial \theta} = \\ & = W_z \frac{\partial_r W_u}{\partial z} + W_r \frac{\partial_z W_u}{\partial r}. \end{aligned}$$

Далее заменим проекции вектора скорости потока на координатные оси  $W_z$ ,  $W_r$ ,  $W_u$  его проекциями  $W_m$ ,  $W_l$  (2), и уравнение количества движения примет вид:

$$\left. \begin{aligned} & W_l \cos \delta_z \cos \delta_r \left( \frac{\partial_r W_m}{\partial z} + \operatorname{tg} \gamma \frac{\partial_z W_m}{\partial r} \right) + B_1 = -v \frac{\partial p}{\partial r} \\ & W_l \cos^2 \delta_z \left( \frac{\partial_r W_l}{\partial z} + \operatorname{tg} \gamma \frac{\partial_z W_l}{\partial r} \right) + B_2 = -v \frac{\partial p}{\partial z} \\ & W_l \cos \delta_z \sin \delta_z \left( \frac{\partial_r W_l}{\partial z} + \operatorname{tg} \gamma \frac{\partial_z W_l}{\partial r} \right) + W_l \cos \delta_z \sin \delta_r \left( \frac{\partial_r W_m}{\partial z} + \operatorname{tg} \gamma \frac{\partial_z W_m}{\partial r} \right) + B_3 = -v \frac{1}{r} \frac{\partial p}{\partial \theta} \end{aligned} \right\}, \quad (6)$$

$$\text{где } \operatorname{tg} \gamma = \frac{W_r}{W_z} = \frac{dr}{dz} = \frac{W_m \cos \delta_r}{W_l \cos \delta_z}, \quad B_2 = W_l^2 \cos \delta_z \left( \frac{\partial_r \cos \delta_z}{\partial z} + \operatorname{tg} \gamma \frac{\partial_z \cos \delta_z}{\partial r} \right),$$

$$\begin{aligned} & B_1 = W_l W_m \cos \delta_z \left( \frac{\partial_r \cos \delta_z}{\partial z} + \operatorname{tg} \gamma \frac{\partial_z \cos \delta_z}{\partial r} \right) - \frac{W_u^2}{r} - \omega^2 r - 2\omega W_u, \\ & B_3 = W_l^2 \cos \delta_z \left( \frac{\partial_r \sin \delta_z}{\partial z} + \operatorname{tg} \gamma \frac{\partial_z \sin \delta_z}{\partial r} \right) + W_l W_m \cos \delta_z \left( \frac{\partial_r \sin \delta_r}{\partial z} + \operatorname{tg} \gamma \frac{\partial_z \sin \delta_r}{\partial r} \right). \end{aligned}$$

Итак, система уравнений, описывающая трехмерное установившееся течение идеального газа через подвижную решетку в слое переменной толщины на поверхности  $S_2$ , включает в себя уравнение сохранения энергии (уравнение постоянства ротальпии), уравнение изоэнтропийного процесса, уравнение неразрывности, которое позволяет без каких-либо допущений ввести функцию тока [5]:

$$\frac{\partial_z}{\partial r} \left( \frac{W_m}{v} \sin \sigma_2 \tau \sec \delta_z \right) + \frac{\partial_r}{\partial z} \left( \frac{W_l}{v} \sin \sigma_2 \tau \sec \delta_r \right) = 0,$$

а также три проекции уравнения количества движения на координатные оси (6).

### Выводы

Предложен новый подход к описанию течения в слое переменной толщины на поверхности тока  $S_2$ , а именно: на основе геометрических характеристик поверхности  $S_2$  в любой ее точке однозначно указаны два не ортогональных прямолинейных направления, на которые проецируются вектор скорости.

Течение через вращающуюся решетку турбомашины в слое переменной толщины на поверхности тока  $S_2$  рассмотрено как трехмерное относительное установившееся течение идеального газа без каких-либо допущений при определении параметров течения и их производных в окружном направлении.

**Список литературы:** 1. Wu C.-H. A General theory of three – dimensional flow in subsonic and supersonic turbomachines of axial –, radial –, and mixed – flow types [Text] // NACA Tech. – 1952. – Note 2604. – 93 p. 2. Субботович, В. П. Обтекание трехмерным потоком решетки профилей турбомашины на поверхности вращения [Текст] / В. П. Субботович, А. Ю. Юдин, Ф. К. Там // Энергетические и теплотехнические процессы и оборудование. Вестник НТУ «ХПИ» : сб. науч. трудов. – Харьков : НТУ «ХПИ», 2008. – № 6. – С. 41–46. 3. Субботович, В. П. Обратная задача теории решеток на осесимметричной поверхности тока [Текст] / В. П. Субботович, А. Ю. Юдин, Ф. К. Там // Энергетические и теплотехнические процессы и оборудование. Вестник НТУ «ХПИ» : сб. науч. трудов. – Харьков : НТУ «ХПИ», 2009. – № 3. – С. 56–61. – ISSN 2078-774X. 4. Субботович, В. П. Поток через вращающуюся решетку осевой турбомашины на произвольной поверхности  $S_1$  [Текст] / В. П. Субботович // Енергетичні та теплотехнічні процеси й устаткування. Вісник НТУ «ХПІ» : зб. наук. праць. – Харків : НТУ «ХПІ», 2013. – № 14(988). – С. 43–48. – ISSN 2078-774X. 5. Субботович, В. П. Уравнение неразрывности для течения в слое переменной толщины на поверхности  $S_2$  [Текст] / В. П. Субботович, А. Ю. Юдин // Вісник НТУ «ХПІ». Серія: Енергетичні та теплотехнічні процеси й устаткування. – Харків : НТУ «ХПІ», 2014. – № 12(1055). – С. 38–41. – Бібліогр.: 5 назв. – ISSN 2078-774X.

**Bibliography (transliterated):** 1. Wu, C.-H. "A General theory of three – dimensional flow in subsonic and supersonic turbomachines of axial –, radial –, and mixed – flow types." *NACA Tech. Note 2604*. 1952. Print. 2. Subotovich, V. P., A. Yu. Yudin and F. K. Tam. "Obtekanie trehmernym potokom reshetki profilej turbomashiny na poverhnosti vrashchenija." *Vestnik NTU "KhPI". Ser.: Jenergeticheskie i teplotehnicheskie processy i oborudovanie*. No. 6. Kharkov: NTU "KhPI", 2008. 41–46. Print. 3. Subotovich, V. P., A. Yu. Yudin and F. K. Tam. "Obratnaja zadacha teorii reshetok na osesimmetrichnoj poverhnosti toka." *Vestnik NTU "KhPI". Ser.: Jenergeticheskie i teplotehnicheskie processy i oborudovanie*. No. 3. Kharkov : NTU "KhPI", 2009. 56–61. ISSN 2078-774X. Print. 4. Subotovich, V. P. "Potok cherez vrashhajushhujusja reshetku osevoj turbomashiny na proizvol'noj poverhnosti  $S_1$ ." *Visnyk NTU "KhPI" Ser.: Energetichni ta teploehnichni procesy j ustatkuvannja*. No. 14(988). Kharkiv : NTU "KhPI", 2013. 43–48. ISSN 2078-774X. Print. 5. Subotovich, V. P. and A. Yu. Yudin. "Uravnenie nerazryvnosti dlja techenija v sloe peremennoj tolshhiny na poverhnosti  $S_2$ ." *Visnyk NTU "KhPI" Ser.: Energetichni ta teploehnichni procesy j ustatkuvannja*. No. 12(1055). Kharkiv : NTU "KhPI", 2014. 38–41. ISSN 2078-774X. Print.

Поступила (received) 13.01.2015